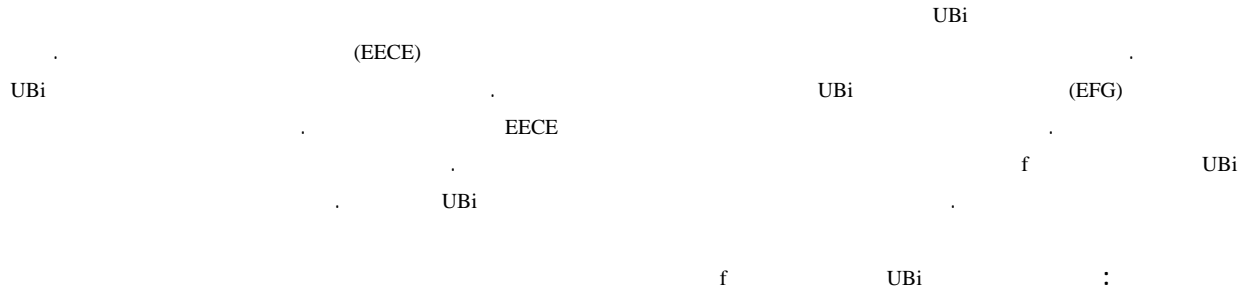


(EECE)

UBi

sjalali@phys.ui.ac.ir :

(دریافت مقاله: ۱۳۸۹/۱۲/۲۳؛ پذیرش: ۱۳۹۰/۸/۱۸)



می باشند. خواص یک بلور به میزان جایگزیدگی الکترون‌های آن بستگی دارد [۸]. الکترون‌های  $5f$  می‌توانند خاصیتی بین الکترون‌های  $4f$  لantanیدها و الکترون‌های  $3d$  فلزات داشته باشند. برای روشن شدن طبیعت الکترون‌های  $5f$  بعضی وقت‌ها آزمایش dHVA و SdH را انجام می‌دهند [۹]. بیشتر آکتانیدها رادیوакتیو هستند و تهیه آنها نیز مشکل می‌باشد. کارهای تجربی بیشتر روی ترکیبات اورانیم و آلیاژ‌های آنها نسبت به سایر آکتانیدها متمرکز است [۸]. اورانیوم فلزی پارامغناطیس می‌باشد، اما این عنصر وقتی با عناصر گروه VI (S, Se, Te) و گروه VII نشان می‌دهد. پارامتر مغناطیسی در ترکیبات، تقریباً به عنصر آنیونی وابسته است و تأیید می‌کند که علت اصلی خواص مغناطیسی، یون اورانیوم می‌باشد [۸].

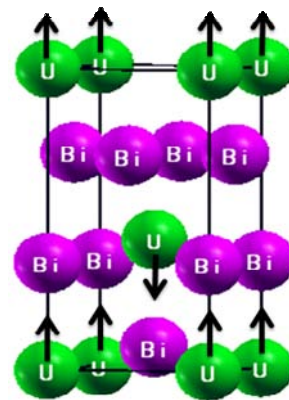
ترکیبات آکتانیدی به خاطر رفتار الکترون‌های  $5f$  خواصی مثل، رفتار فرمیون سنگین، پارامغناطیس پائولی و نوسان اسپینی را از خود نشان می‌دهند که به رفتار غیرعادی الکترون‌های  $5f$  مربوط می‌شود [۵-۱۵]. رفتار فرمیون سنگین برای ترکیبات آکتانیدی در آستانه جایگزیدگی ظاهر می‌شود [۵]. یک مثال مهم دیگر از خواص ترکیبات آکتانیدی کشف یک ابررسانای غیر معمول در ترکیب  $PuCoGa_5$  می‌باشد که الکترون‌های  $5f$  نزدیک جایگزیدگی هستند [۶]. اختلاف یک ماده آکتانیدی با دیگر ترکیبات مربوط به طبیعت الکترون‌های  $5f$  می‌باشد، که می‌توانند از حالت غیر پیوندی و جایگزیده به حالت پیوندی و غیرجایگزیده تغییر پیدا کنند [۷]. ترازهای نیمه‌پر در آکتانیدها عامل رفتار مغناطیسی آلیاژ‌های آکتانیدی و ترکیبات آنها

پارامتر ورودی هابارد ( $U$ ) نیاز داریم. تعیین  $U$  به صورت تجربی و محاسباتی نیز پر هزینه و وقتگیر است. در نتیجه در ترکیبات همبسته قوی از توابع تبادلی دقیق برای الکترون‌های همبسته تحت چند تابعی هیبرید برای به دست آوردن انرژی تبادلی همبستگی استفاده کردۀ ایم [۱۶-۱۸].

در این مقاله ما گرادیان‌های میدان الکتریکی را در مکان هسته اورانیوم محاسبه و آنها را با مقادیر به دست آمده از روش تجربی موسبائیر مقایسه کردۀ ایم [۱۴]. همچنین با بررسی نمودار چگالی حالت‌ها و بررسی سطوح فرمی برای ترکیب  $UBi_2$  خواص الکترونی این ترکیبات را مورد بررسی قرار می‌دهیم.

ما در این مقاله از کد نرم افزاری WIEN2k [۱۹] و از روش امواج تخت بهبود یافته به علاوه اوربیتال‌های موضعی استفاده کردۀ ایم. این کد بر نظریه تابعی چگالی (DFT) [۲۰] استوار است و به حل معادلات کان - شم می‌پردازد [۲۱]. برای محاسبه انرژی تبادلی - همبستگی موجود در معادلات کان - شم از این تقریب‌های GGA [۲۲، ۲۳] LDA+U [۲۴] و GGA+U [۲۵] نظر گرفته شده است. با در نظر گرفتن شرط چند تابعی هیبرید استفاده شده است. با در نظر گرفتن شرط عدم همپوشانی کرات موفین - تین، شعاع کرات موفین - تین را برای اورانیوم و بیسموت به ترتیب برابر با  $2/8$  a.u. و  $2/4$ a.u. در نظر گرفته ایم. با رسم نمودار  $k$  بر حسب انرژی یک  $k$  متناظر با  $50^{\circ}5$  نقطه، شامل  $45$  نقطه خاص در نظر گرفته ایم [۲۶]. انرژی جدا سازی را  $Ry = 6 \times 10^{-6}$  و نیروی بین اتم‌ها را تا زیر  $100 \text{ mRy}/\text{bohr}$  کمینه کردۀ ایم.

گرادیان میدان الکتریکی معیاری از میزان عدم تقارن توزیع ابر الکترونی در محل اتم‌ها می‌باشد که با گشتاور چهار قطبی هسته بهم‌کنش می‌کند و باعث شکافتگی فوق ریز ترازهای انرژی می‌شود [۲۷]. یک اتم بسته به ترکیبی که در آن قرار می‌گیرد می‌تواند ابر الکترونی متقارن یا غیرمتقارنی داشته باشد، در نتیجه



شکل ۱. ساختار مغناطیسی بلور پادفرومغناطیس  $UBi_2$

ترکیب  $UBi_2$  دارای ساختار تراگونال از نوع  $Sb_2Cu$  با  $D_{4h}^{7/8} P_{4/nmm}$  می‌باشد [۱۰ و ۱۱]. دمای نیل این ترکیب نسبتاً بالا و در حدود دمای اتاق است [۱۱]. ساختار پادفرومغناطیس این ترکیب با استفاده از روش تجربی پراکندگی نوترونی مشخص می‌شود [۱۰]. ساختار پادفرومغناطیس  $UBi_2$  شامل صفحات فرومغناطیس است که در امتداد محور  $c$  در یک نظام پادفرومغناطیس به صورت  $\uparrow \downarrow$  قرار گرفته‌اند. جرم سیکلوترونی بزرگ در این ترکیبات از سهم الکترون‌های  $5f$  سرچشمه می‌گیرد [۹]. ویژگی‌های مختلفی که ترکیبات اورانیوم دارند دقیقاً به ثابت شده، فاصله بین اتم‌های  $U$  و همچنین پیوند الکترون‌های  $5f$  با الکترون‌های ظرفیت مربوط می‌شود [۱۰-۱۲].

یکی از ابزارها و روش‌های بررسی اتم‌ها در یک ساختار بلوری بررسی گرادیان‌های میدان الکتریکی می‌باشد. گرادیان‌های میدان الکتریکی را می‌توان به عنوان یک معیار قدرتمند برای اندازه‌گیری میزان جایگزینی اوربیتال‌ها در نظر گرفت [۱۳]. گرادیان‌های میدان الکتریکی را مستقیماً با استفاده از روش‌های تجربی نمی‌توان اندازه‌گیری کرد، اما می‌توان آنها را مستقیماً با استفاده از روش‌های محاسباتی به دست آورد [۱۴]. برای به دست آوردن نتایج بهتر در دستگاه‌های همبسته قوی که الکترون‌های  $f$  و  $d$  دارند بهتر است از تقریب‌های LDA+U [۱۵] استفاده کنیم [۱۵]. گرچه با استفاده از تقریب‌های GGA+U و GGA+U [۱۶] ممکن است نتایج خوبی به دست آوریم ولی همان‌طور که می‌دانیم برای استفاده از این تقریب‌ها به

جدول ۱. مقدار گرadiان میدان الکتریکی با استفاده از توابع هیریید برای  $\alpha$  های مختلف ( $\times 10^4 \text{ Vnm}^{-1}$ ).

	LDAFock <sup>[۲۶]</sup>	B3PW91 <sup>[۲۸ و ۲۷]</sup>	WCFock	PBEsol <sup>[۲۹]</sup>	PBEFock <sup>[۳۰ و ۳۱]</sup>	Exp <sup>[۱۴]</sup>
$\alpha = 0/10$	۰/۳۶	۰/۴۳	۰/۳۹	۰/۴۱	۰/۴۱	$0/0 \pm 0/2$
$\alpha = 0/20$	۰/۲۹	۰/۳۷	۰/۲۹	۰/۳۳	۰/۳۵	
$\alpha = 0/30$	۰/۲۰	۰/۲۹	۰/۲۷	۰/۲۸	۰/۳۲	

جدول ۲. مقدار گرadiان میدان الکتریکی با استفاده از تقریب‌های GGA+U، LDA+U، LDA.

LDA+ U <sup>[۳۲]</sup>	GGA+SO	GGA+SO+U (U=۰/۲۹Ry) <sup>[۳۳]</sup>	GGA+SO+U (U=۰/۱۳Ry) <sup>[۳۴]</sup>	LDA+SO+U (U=۰/۲۹Ry)	LDA+SO+U (U=۰/۱۳Ry)	LDA+SO	Exp <sup>[۱۴]</sup>
۰/۸۵	۰/۵۶	۰/۷۸	۰/۶۵	۰/۶۹	۰/۵۳	۰/۵۴	۰/۰ ± ۰/۲

میدان الکتریکی با افزایش پارامتر آلفا کاهش می‌یابد و به مقدار تجربی نزدیک‌تر می‌شود. همان‌طور که از جدول ۲ مشاهده می‌شود با کاهش پارامتر هابارد و یا به کاربردن تقریب‌هایی که پارامتر هابارد صفر است (LDA و GGA) می‌توان به مقادیر تجربی نزدیک شد. مطلب بالا می‌تواند نشان دهنده این موضوع باشد که این بلور به طور کامل همبسته قوی نیست و جایگزینی اوریتال‌های  $5f$  اتم اورانیم کم می‌باشد، در نتیجه روش‌هایی که در مورد ترکیبات همبسته قوی نتایج خوبی ارائه می‌دهند در مورد این بلور و اتم‌های اورانیوم موجود در آن به نتایج قابل قبول منجر نمی‌شوند.

گرادیان‌های میدان الکتریکی برای این بلور در سال ۲۰۰۴ توسط تسوتسی و همکارانش به طور غیرمستقیم با استفاده از روش تجربی طیف نمایی موسبائی گزارش شده است [۱۴]. آنها ابتدا برهم‌کنش چار قطبی هسته‌ای را با استفاده از طیف نمایی موسبائی به دست آوردند و بعد با استفاده از رابطه  $\Delta E = e^{\alpha} QV_{zz}$  برای شکافتگی چهار قطبی هسته‌ای گرادیان میدان الکتریکی را برای بلور محاسبه کردند. در این رابطه  $Q$  و  $V_{zz}$  به ترتیب بار الکترون، گشتاور چار قطبی هسته و مولفه اصلی گرادیان میدان الکتریکی می‌باشند. آنها با قرار دادن  $-3/2$  barn برای  $Q$  [۳۵] و مقدار بار الکترون، مقدار  $\times 10^4 \text{ Vnm}^{-1}$  را برای میدان الکتریکی  $\text{UBi}_2$  در محل اتم اورانیم گزارش کردند [۱۴].

فتحی در سال ۱۳۸۴ گرادیان‌های میدان الکتریکی را برای این

گرادیان میدان الکتریکی در محل یک اتم در ترکیبات مختلف متفاوت می‌باشد. گرادیان‌های میدان الکتریکی در محل اتم اورانیوم در بلور  $\text{UBi}_2$  محاسبه و نتایج در جداول ۱ و ۲ خلاصه شده است. در جدول ۱ مقادیر به ازای تابعی‌های هیریید و در جدول ۲ مقادیر به ازای تابعی‌های موضعی و شبیه موضعی آورده شده است. همان‌طور که ملاحظه می‌شود تابعی‌های EECE در مقایسه با سایر تابعی‌ها در محاسبه گرادیان میدان الکتریکی بهتر عمل می‌کنند و نتایجی که ارائه می‌دهند قابل قبول است. در میان دسته‌های تابعی EECE تابعی به ازای آلفای  $0/3$  بهتر از سایر تابعی‌ها عمل می‌کند و نتیجه‌ای که برای گرادیان میدان الکتریکی ارائه می‌دهد بهتر از سایر تابعی‌ها، به خصوص تابعی‌های غیر EECE جدول ۲ می‌باشد. نکته دیگری که باید به آن اشاره کرد این است که ما نتایج محاسبات را تا  $\alpha = 0/3$  گزارش کرده‌ایم، زیرا به ازای آلفاهای بزرگتر از این مقدار محاسبات به خوبی و با دقت کافی همگرا نمی‌شوند و دقت محاسبات پایین می‌آید. در مواقعي هم که با عوض کردن بعضی پارامترهای موجود در کد محاسباتی موفق به همگرا کردن محاسبات با دقت کافی می‌شديم، سایر خصوصيات بلور مانند خاصيت پادفرومغناطيس بودن آن از بين می‌رفت و بلور گشتاور مغناطيسي کل پيدا می‌کرد. در نهايit به اين نتیجه رسيديم که تابعی‌های EECE با آلفاهای بزرگتر از  $0/3$  برای اين بلور مناسب نیستند.

همان‌طور که از جدول ۱ مشاهده می‌شود مقدار گرادیان

فضایی، نقطه‌ای و همچنین ساختار شیمیایی این ترکیبات مانند  $UBi_2$  می‌باشد و تنها تفاوت آنها با  $UBi_2$  در ساختار مغناطیسی می‌باشد، می‌توان گفت که یکی از دلایل اختلاف در گردایان‌های میدان الکتریکی و کوچک شدن EFG، ساختار مغناطیسی بلور  $UBi_2$  می‌باشد. زیرا وقتی ساختار مغناطیسی  $USb_2$  را برای  $UBi_2$  به کار می‌بریم گردایان میدان الکتریکی غیر صفر را برای  $UBi_2$  به دست آورده‌یم.

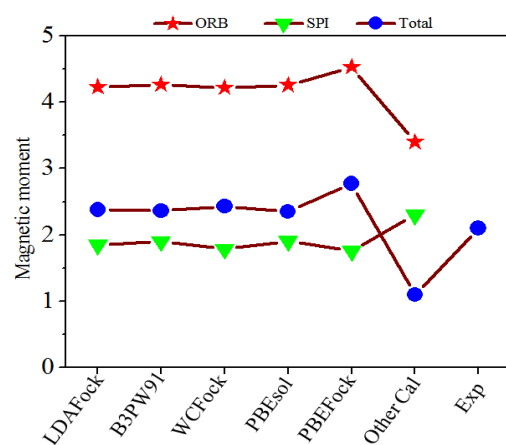
بلور محاسبه کرد [۳۲]. با توجه به امکانات محاسباتی آن زمان و تقریب‌هایی که برای به دست آوردن پتانسیل تبادلی همبستگی در آن زمان وجود داشت مقادیر محاسبه شده توسط ایشان برای توصیف خواص الکترونی این بلور کافی نبود و با مقادیر تجربی اختلاف داشت. اما امروزه با توجه به کامپیوترهای با سرعت بالا و همچنین وجود نسخه‌های جدید کد محاسباتی WIEN2k که تقریب‌های بیشتری در آن گنجانده شده است می‌توان این ترکیبات را به نحو مطلوبتری مطالعه کرد.

همان طور که در جدول ۱ مشاهده می‌شود ما گردایان‌های میدان الکتریکی را با استفاده از تابعی‌های EECE محاسبه کرده‌ایم و به نتایج بهتری نیز نسبت به مرجع [۳۲] در مقایسه با مقادیر تجربی دست یافتیم. مثلاً مقدار گردایان میدان الکتریکی محاسبه شده در کار حاضر با استفاده از تابعی LDAFock به ازای آلفای  $0/3$ ،  $2 \times 10^4 \text{ Vnm}^{-2}$  می‌باشد که نسبت به مقدار محاسبه شده در مرجع [۳۲]، یعنی  $2 \times 10^4 \text{ Vnm}^{-2}$ ، تطابق بیشتری با تجربه دارد. همچنین با استفاده از تقریب‌های GGA و LDA+U که در مرجع [۳۲] نیز استفاده شده است، ما گردایان‌های میدان الکتریکی را محاسبه کردیم ولی مقادیر محاسبه شده در کار حاضر و مرجع [۳۲] با تقریب‌های یکسان مقداری با هم اختلاف دارند و مقادیر محاسبه شده ما به تجربه نزدیک‌تر است. یکی از علتهای این اختلاف در مقادیر گزارش شده با تابعی‌های یکسان می‌تواند در کمینه کردن نیروها باشد. ما با توجه به امکانات محاسباتی که داشتیم نیروها را تا مقدار قبولی، زیر  $1/100 \text{ mRy/bohr}$  کمینه کردیم. مورد دیگر که می‌تواند به عنوان دلیلی برای این اختلاف ذکر شود، مقدار  $k$  است که در محاسبات استفاده شده است. زیرا بین  $k$ ‌هایی که در این مقاله و مرجع [۳۲] در انجام محاسبات استفاده شده است اختلاف وجود دارد. نکته دیگری که باید به آن اشاره کرد این است که همان‌طور که از جدول ۱ و مقادیر تجربی مشاهده می‌شود مقدار گردایان میدان الکتریکی در محل اتم اورانیوم در بلور  $UBi_2$  خیلی کوچک و تقریباً صفر است. ولی در بقیه ترکیبات این گروه یعنی  $USb_2$ ،  $UAs_2$  و  $UP_2$  گردایان میدان الکتریکی بزرگ و غیر صفر است [۱۴]. با توجه به اینکه گروه

محاسبه نکرده‌ایم. در بین تابعی‌های PBEFock، EECE، تابعی LDAFock در به دست آوردن گشتاور کل، ضعیفتر از باقیه تابعی‌ها عمل می‌کند ولی سایر تابعی‌ها تقریباً مقادیر یکسانی را برای گشتاور کل ارایه می‌دهند.

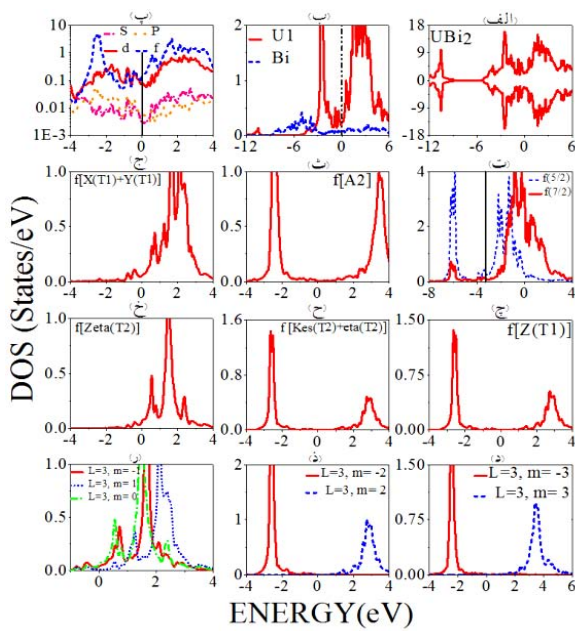
سطح زیر منحنی چگالی حالت‌ها در هر گستره انرژی معرف تعداد حالات مجاز حضور الکترون در آن گستره انرژی می‌باشد. شکل ۳ نمودار چگالی‌های حالت‌های الکترونی مربوط به کل بلور  $\text{UBi}_2$ ، اتم‌ها، اوربیتال‌های اتم اورانیوم و چگالی‌های حالت‌های جزئی اوربیتال اتم اورانیوم را نشان می‌دهد. شکل ۳-الف چگالی حالت‌های اسپین بالا و پایین کل بلور را نشان می‌دهد. چون این نمودار سطح فرمی را در مقدار غیر صفر قطع می‌کند می‌توان گفت که این ترکیب فلز است. همچنین از مقارن بودن نمودارهای اسپین بالا و پایین می‌توان پادفرومغناطیسی بودن این فلز را مشاهده کرد. شکل ۳-ب چگالی‌های حالت‌های اتم‌های U و Bi را نشان می‌دهد. همان‌طور که مشاهده می‌شود اتم اورانیوم سهم عمدتی در چگالی حالت‌های کل بلور در نزدیکی سطح فرمی دارد در نتیجه این اتم می‌تواند در بسیاری از خواص ترکیب  $\text{UBi}_2$  نقش مهمی را ایفا کند. ترکیباتی که در آنها اتم اورانیوم وجود دارد معمولاً خواص خیلی جالبی را از خود نشان می‌دهند، بنابراین مطالعه بیشتر این اتم و اوربیتال‌های آن مهم به نظر می‌رسد.

شکل ۳-پ چگالی‌های حالت‌های اوربیتال‌های  $d$ ،  $f$  و  $g$  را نشان می‌دهد. همان‌طور که از این شکل مشاهده می‌شود اوربیتال  $f$  این اتم سهم عمدتی در چگالی حالت‌های الکترونی اتم اورانیوم دارد و سطح فرمی را در مقدار قابل توجهی قطع می‌کند، در نتیجه می‌توان گفت که الکترون‌های این اوربیتال در رسانش و هیبریدشدنگی همراه الکترون‌های رسانش شرکت می‌کنند. چون الکترون‌های  $f$  از یک طرف جزء الکترون‌های داخلی هستند (نسبت به الکترون‌های رسانش  $7s$  و  $6d$ ) و انتظار می‌رود جایگزینه باشند و از طرفی در رسانش و هیبریدشدنگی همراه با الکترون‌های  $s$  و  $d$  شرکت می‌کنند، می‌توان گفت که



شکل ۲. گشتاور مغناطیسی اسپینی، اوربیتالی و کل محاسباتی و تجربی [۳۷] بر حسب  $\mu_B$  برای هر اتم اورانیوم در بلور  $\text{UBi}_2$ . قدر مطلق گشتاور اسپینی و اوربیتالی ارائه شده است و گشتاور کل با  $|\mu_L| - |\mu_s|$  مطابق است.

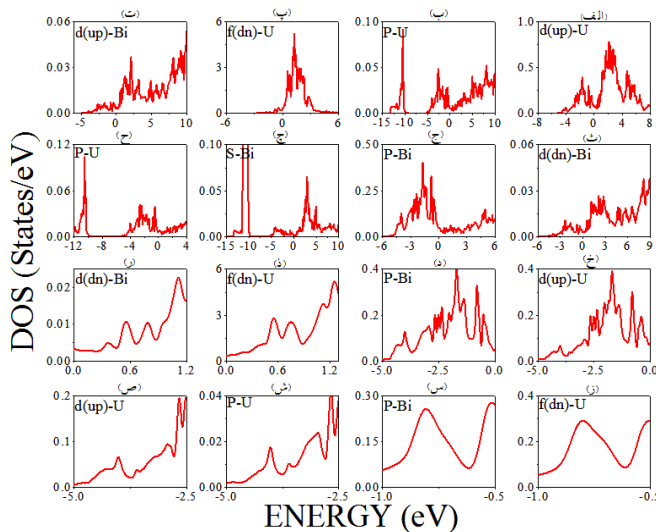
برای گشتاور مداری به ازای توابع هیبرید مختلف تقریباً بین  $4/2 \mu_B$  تا  $4/5 \mu_B$  است که به مقدار تقریبی  $4/8 \mu_B$  برای اتم آزاد اورانیوم تقریباً نزدیک است. گشتاور مداری برای اتم U در ترکیب  $\text{UBi}_2$  قبل حدود مقدار  $3/5 \mu_B$  [۳۶] محاسبه شده است که با مقدار محاسبه شده در این مقاله حدود  $1 \mu_B$  اختلاف دارد. گشتاور اسپینی برای هر اتم اورانیوم نیز محاسبه شده و مقادیر آن در شکل ۲ قابل مشاهده است. در شکل ۲ مقدار قدر مطلق برای گشتاور مداری و گشتاور اسپینی گزارش شده است، زیرا برای این ترکیب گشتاورهای اسپینی و مداری از لحاظ علامت با هم مخالف هستند (طبق قاعده هوند برای پوسته‌های کمتر از نیمه پر) [۳۶]. در این شکل مقدار کلی گشتاور نیز آورده شده است. برای به دست آوردن این مقدار قدر مطلق گشتاور اوربیتالی را از مقدار مطلق گشتاور اسپینی کم کرده‌ایم ( $|\mu_L| - |\mu_s|$ ). همان‌طور که از شکل مشاهده می‌شود مقادیر محاسبه شده برای گشتاور کل به مقادیر تجربی گزارش شده برای این مقدار نزدیک می‌باشد. با این وجود باز هم اختلافاتی بین این دو مقدار وجود دارد که ناشی از این امر می‌باشد که ما توابع هیبرید را فقط برای اوربیتال  $f$  در اتم اورانیوم در نظر گرفتیم و این تابعی‌ها را فقط روی این اوربیتال اثر داده‌ایم و سهم اوربیتال  $d$  را با استفاده از این تقریب‌ها



شکل ۳. چگالی حالت‌های الکترونی محاسبه شده مربوط به کل بلور UBi<sub>2</sub> (۳-الف)، اتم‌های تشکیل دهنده این بلور (۳-ب)، اوربیتال‌های اتم U (۳-پ) و قسمت‌های جزئی اوربیتال f (۴-ت) اوربیتال f بر حسب زهای آن، ۳-ث تا ۳-خ بر حسب تقارن‌های موجود در اوربیتال f و شکل‌های ۴-د تا ۴-ر بر حسب l و m<sub>h</sub> اوربیتال f.

که مشاهده می شود این اجزاء از اوربیتال  $f$  سطح فرمی را در مقدار غیر صفر قطع می کنند، در نتیجه قطع شدن سطح فرمی و شرکت این اوربیتال در رسانش مربوط به این قسمت ها از اوربیتال  $f$  می باشد. همان طور که می دانیم عدد کوانتموی اوربیتال  $f$   $l=3$  می باشد. به ازای  $l=3$   $m= \pm 1, 0, -1$  مقدار برای  $m$   $l=3$  تا  $l=3$  می باشد. کدام  $m$  ها در این اوربیتال وجود دارد. برای این که پی ببریم که کدام  $m$  ها در این اوربیتال باعث رسانش آن می شوند شکل های  $l=3$  و  $l=2$  را بررسی می کنیم. شکل های  $l=3$  و  $l=2$  به ترتیب مربوط به  $m=\pm 3, \pm 2, \pm 1, 0, -1, -2, -3$  می باشند. همان طور که از این شکل ها مشاهده می شود می توان گفت که این  $l$  و  $m$  ها  $m=\pm 2$  و  $m=\pm 3$  نیستند  $m=\pm 1$  و  $m=\pm 0$  نیستند  $m=\pm 2$  و  $m=\pm 3$  در که باعث رسانش الکترون های  $f$  می شوند و  $m=\pm 1$  و  $m=\pm 0$  در رسانش اوربیتال  $f$  سهمی ندارند. شکل  $l=3$  را چگالی حالت ها به ازای  $m$  های مساوی با صفر و  $1$  و  $-1$  را نشان می دهد. همان طور که مشاهده می شود این قسمت ها از اوربیتال  $f$  سطح فرمی را قطع می کنند و باعث هیبریدشدن اوربیتال  $f$  با سایر اوربیتال ها می شوند. بنابراین قطع شدن سطح فرمی توسط اوربیتال  $f$  شرکت آن در رسانش مربوط به این قسمت ها از اوربیتال  $f$

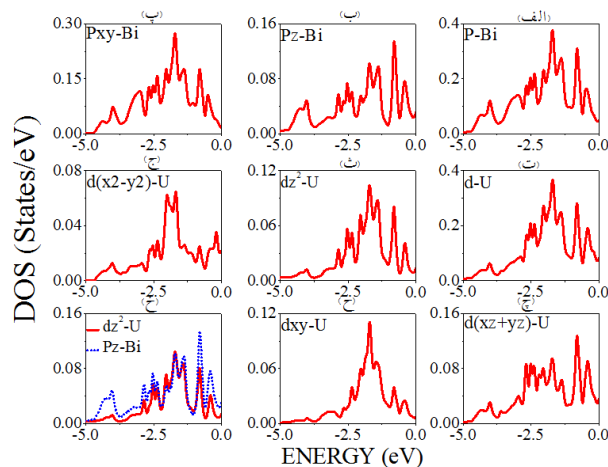
الکترون‌های  $f$  خاصیت دوگانه‌ای بین حالت‌های جایگزینده و سیار از خود نشان می‌دهند. شکل ۳-۱ نمودار چگالی حالت‌های جزئی اوربیتال  $f$  به ازای  $\theta = 0^\circ$  و  $\theta = 90^\circ$  را نشان می‌دهد. این شکل به وضوح قطع شدن سطح فرمی توسط این اوربیتال و شرکت آن در رسانش را نشان می‌دهد. همان‌طور که مشاهده می‌شود سهم الکترون‌های با  $\theta = 90^\circ$  در سطح فرمی بیشتر از سهم الکترون‌های با  $\theta = 0^\circ$  است. شکل‌های ۳-۲ تا ۳-۶ چگالی حالت‌های جزئی اوربیتال  $f$  را نشان می‌دهد. این نمودارها به ترتیب مربوط به چگالی حالت‌های جزئی [A2] و [f<sub>3</sub>]، [f<sub>1</sub> + f<sub>2</sub>]، [X(T1) + Y(T1)] و [Z(T1)] می‌باشند.<sup>۳۸</sup> همان‌طور که از این شکل‌ها مشاهده می‌شود چگالی حالت‌ها مربوط به [A2]، [f<sub>1</sub> + f<sub>2</sub>] و [ks<sub>1</sub>(T2) + eta(T2)] رفتار تقریباً مشابهی دارند و همگی سطح فرمی را در مقدار صفر قطع می‌کنند. در نتیجه سهم این قسمت‌ها از اوربیتال  $f$  در سطح فرمی صفر می‌باشد، و می‌توان گفت که قطع شدن سطح فرمی و شرکت اوربیتال  $f$  در رسانش مربوط به این قسمت‌های جزئی از اوربیتال  $f$  نمی‌باشد. شکل‌های ۳-۷ و ۳-۸ چگالی حالت‌های مربوط به



شکل ۴. چگالی حالت‌های اوربیتال‌های دو اتم  $U$  و  $Bi$ . ۴-الف تا ۴-ج تعدادی از اوربیتال‌ها در بازه‌های بزرگ. ۴-ح تا ۴-ص بعضی از بازه‌هایی که این اوربیتال‌ها با هم هیبرید می‌شوند.

رسانش شرکت می‌کنند و با الکترون‌های اتم  $Bi$  هیبرید می‌شود. اگر دو اوربیتال در بازه یکسان انرژی رفتار یکسان و مشابه داشته باشند، می‌توان گفت که این دو اوربیتال در آن بازه انرژی یک هیبریدشدگی با هم دارند. شکل‌های ۴-الف تا ۴-ص چگالی حالت‌های اوربیتال‌های مختلف اتم‌های  $U$  و  $Bi$  را نشان می‌دهند. با توجه به این نمودارها می‌توان تعدادی از هیبریدشدگی‌هایی که بین اوربیتال‌ها وجود دارد را نشان داد. در شکل‌های ۴-الف تا ۴-ح چگالی حالت‌های تعدادی از اوربیتال‌های  $U$  و  $Bi$  نشان داده شده است و در شکل‌های ۴-خ تا ۴-ص بعضی از بازه‌هایی که در آنها اوربیتال‌ها با هم هیبرید می‌شوند را نشان می‌دهد. مثلاً در بازه  $[0.5, 5 \text{ eV}]$  اوربیتال  $d$  با اسپین بالا در اتم اورانیوم با اوربیتال  $p$  در اتم  $Bi$  (شکل‌های ۴-خ و ۴-د)، همچنین در بازه  $[1, 0/2 \text{ eV}]$  اوربیتال  $f$  با اسپین ۴-پایین اتم اورانیوم با اوربیتال  $d$  با اسپین پایین  $Bi$  (شکل‌های ۴-ذ و ۴-ر) یک هیبریدشدگی ایجاد می‌کنند. یک مثال دیگر برای این هیبریدشدگی‌ها شکل‌های ۴-ز و ۴-س هستند که در آنها هیبریدشدگی بین اوربیتال  $f$  با اسپین پایین اتم اورانیوم و  $p$  اتم  $Bi$  را در بازه  $[-0.5, 0.5 \text{ eV}]$  نشان می‌دهند. بین اوربیتال‌های اورانیوم نیز یک هیبریدشدگی ایجاد می‌شود، مثلاً اوربیتال‌های  $p$  و  $d$  با اسپین بالا در بازه  $[-2/5, -2/5 \text{ eV}]$  با هم هیبریدشدگی ایجاد می‌کنند که در شکل‌های ۴-ش و ۴-ص

می‌باشد. نکته‌ای که در این قسمت باید به آن اشاره کرد این است که چون اوربیتال  $5f$  سطح فرمی را در مقدار قابل توجهی قطع می‌کند، الکترون‌های آن در رسانش بلور نقش دارند. از طرفی چون این الکترون‌ها جزء الکترون‌های داخلی هستند، در نتیجه موجب جرم مؤثر بزرگ بلور  $UBi_2$  می‌شوند. البته باید توجه داشت که شکل ۳ نمودارهای چگالی حالت‌ها را به ازای تابعی LDAFock با آلفای  $0/3$  نشان می‌دهد. تقریب‌های  $U$ -مانند ( $GGA+U$ ,  $LDA+U$ ) و توابع (EECE) سعی می‌کنند که نمودار چگالی حالت‌های اوربیتال‌های جایگزیده مثل  $d$  و  $f$  را از سطح فرمی دور کنند. اوربیتال  $5f$  که سهم عمده‌ای در چگالی حالت‌های کل بلور دارد کاملاً جایگزیده نیست. در اثر اعمال تقریب LDAFock، هنوز این اوربیتال و کل بلور سطح فرمی را در مقدار قابل توجهی قطع می‌کنند و کاملاً از سطح فرمی جدا نشده‌اند، ولی باز هم نسبت به تقریب‌های LDA و GGA در فاصله بیشتری از سطح فرمی قرار دارند. بنابراین اگر ما شکل ۳ را برای تقریب  $GGA$  یا  $LDA$  رسم می‌کردیم اوربیتال  $f$  اتم اورانیوم و در نتیجه کل بلور سطح فرمی را در مقدار بزرگتری قطع می‌کردند. اوربیتال‌های  $5f$  خاصیت دوگانه‌ای برای جایگزیدگی از خود نشان می‌دهند و بسته به ترکیبی که در آن قرار می‌گیرند ممکن است جایگزیده یا غیرجایگزیده باشد. در بلور  $UBi_2$  اوربیتال‌های  $d$  و  $f$



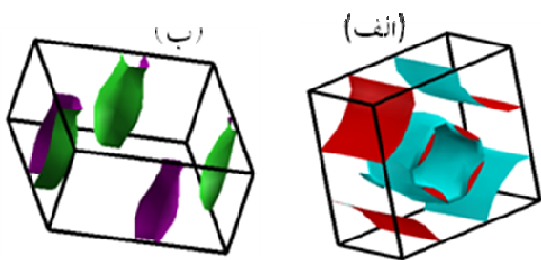
شکل ۵. چگالی حالت‌های جزیی اوربیتال‌های P بیسموت (۵-الف تا ۵-ح)، d اورانیوم (۵-ت تا ۵-ج) و همپوشانی دو اوربیتال جزیی  $dz^2$  و  $d$  در بازه  $[-5, -2/5]$  eV.

دیگری بین اورانیوم و بیسموت وجود داشته باشد که در اینجا به آنها پرداخته نشده است.

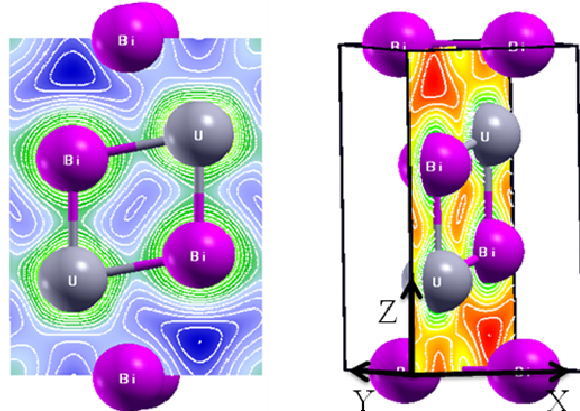
شکل ۶ چگالی ابرالکترونی را برای  $UBi_2$  در صفحه (۱۱۰) نشان می‌دهد. همان‌طور که از این شکل به وضوح می‌توان دید بین اتم‌های U و Bi پیوند وجود دارد. خطوط پیوند اطراف هر اتم را در شکل به وضوح می‌توان مشاهده کرد. با توجه به خطوط پیوندی که بین اتم‌های U و Bi وجود دارد می‌توان گفت پیوند در راستای z، یعنی محور اصلی بلور، قوی‌تر از پیوند در راستاهای x و y می‌باشد و اتم‌ها در این راستا به صورت مستحکم‌تری با هم هیبرید می‌شوند.

ترکیب  $UBi_2$  یک فلز با تعداد مساوی از حامل‌های الکترونی و حفره‌ای است [۳۹]. نوسانات dHvA و طیف تبدیل فوریه سریع (FFT) دو شاخه  $\alpha$  و  $\beta$  را برای این بلور نشان می‌دهد [۳۹]. شاخه  $\alpha$  با تغییر زاویه  $\theta$  (که  $\theta$  زاویه بین جهت میدان و جهت بلور است و از صفر تا  $90^\circ$  تغییر می‌کند) تغییر نمی‌کند و شاخه  $\beta$  یک وابستگی به صورت  $1/\cos \theta$  را نسبت به زاویه  $\theta$  نشان می‌دهد [۴۰]. چون شاخه  $\alpha$  با تغییر زاویه میدان ثابت می‌ماند، در نتیجه نشان‌دهنده یک سطح کروی است و از نوع وابستگی شاخه  $\beta$  به تغییر زاویه میدان می‌توان گفت که این شاخه عهده‌دار یک سطح فرمی به شکل استوانه می‌باشد

نشان داده شده‌اند. البته هیبریدشدگی‌های دیگری بین اوربیتال‌ها در بازه‌های دیگر انرژی وجود دارد که شکل آنها آورده نشده است. مثلاً بین p اورانیوم و d بیسموت در بازه  $[-5, -2/5]$  eV همچنین بین p اورانیوم و s بیسموت در بازه  $[-11, -10]$  eV هیبریدشدگی ایجاد می‌شود. در نهایت می‌توان گفت که یک پیوند بین U و Bi ایجاد می‌شود. در این پیوند علاوه بر اوربیتال‌های  $s$  و  $d$  اوربیتال  $f$  اورانیوم نیز شرکت می‌کند. پیوند بین U و Bi می‌تواند از نوع سیگما ( $\sigma$ )، پای (n)، دلتا ( $\delta$ ) یا ترکیبی از همه آنها باشد. در شکل ۵ یکی از پیوندهایی که بین U و Bi وجود دارد بررسی شده است. گفته شد که در بازه  $[-5, -2/5]$  eV بین اوربیتال‌های d و P بیسموت یک هیبریدشدگی رخ می‌دهد و این دو اوربیتال در این بازه رفتار یکسانی دارند. شکل ۵-الف تا ۵-ح اوربیتال‌های P و قسمت‌های جزیی این دو اوربیتال را در بازه  $[-5, -2/5]$  eV نشان می‌دهد. همان‌طور که در شکل ۵-خ نشان داده شده است قسمت‌های جزیی  $dz^2$  و  $Pz$  از اوربیتال‌های d و P در این بازه رفتار یکسانی دارند. با توجه به این که  $dz^2$  بسیاری از نقاط با هم همپوشانی می‌کنند. با توجه به این که  $Pz$  در امتداد محور z کشیده شده‌اند و به صورت محوری (سریه‌سر) با هم همپوشانی می‌کنند می‌توان گفت پیوند بین اوربیتال‌های d اتم اورانیوم و P بیسموت از نوع سیگما است. در نتیجه یکی از پیوندهایی که بین اورانیوم و بیسموت وجود دارد پیوند سیگما می‌باشد. البته ممکن است که پیوندهای



شکل ۷. سطوح فرمی  $_{\text{UBi}_2}$  در ناحیه اول بریلوین (الف)- یک سطح حفره‌ای ب- یک سطح الکترونی را نشان می‌دهند.



شکل ۸. چگالی ابر الکترونی ترکیب  $_{\text{UBi}_2}$  در صفحه (۲۰).

باید یک سطح تقریباً کروی (همانند شکل ۷-الف) و دو سطح استوانه‌ای (مطابق با شکل ۷-ب) در ناحیه بریلوین وجود داشته باشد تا تعداد حامل‌ها به خوبی جبران شود.

نتایج نشان می‌دهند که توابع EECE در محاسبه گرادیان‌های میدان الکتریکی بلور  $_{\text{UBi}_2}$  بهتر از سایر تابعی‌ها عمل می‌کنند. کوچک بودن گرادیان میدان الکتریکی در ترکیب  $_{\text{UBi}_2}$  به ساختار مغناطیسی آن مربوط می‌شود. گرادیان میدان الکتریکی به ساختار مغناطیسی ترکیب موردنظر بستگی دارد و چون تنها الکترون‌های مغناطیسی اورانیوم الکترون‌های اوربیتال ۵f هستند در نتیجه گرادیان میدان الکتریکی اتم اورانیوم به الکترون‌های این اوربیتال وابسته می‌باشد. الکترون‌های اوربیتال ۵f در هیریدشدگی و رسانش شرکت می‌کنند. یکی از پیوندهایی که بین اورانیوم و بیسموت وجود دارد پیوند سیگما می‌باشد. چون الکترون‌های ۵f در این ترکیبات سطح فرمی را قطع می‌کنند و بیشترین سهم را نزدیک سطح فرمی دارند و از طرفی این اوربیتال جزء اوربیتال‌های داخلی می‌باشد جرم مؤثر این ترکیبات بزرگ است.

این کار با پشتیبانی مالی و امکانات محاسباتی حوزه معاونت پژوهشی دانشگاه اصفهان انجام شده است. مولفین همچنین از آقایان رسول قاسمی و سعید مهرگان به خاطر همکاری در تنظیم این مقاله تشکر می‌کنند.

[۱۱و۹]. سطوح فرمی به شکل ورقه‌های کاملاً بسته (مثل سطوح کروی)، همچنین ورقه‌های استوانه‌ای شکل اطراف نقطه مرکزی  $\Gamma$  نشان‌دهنده حامل‌هایی از نوع حفره در سطح فرمی می‌باشند. سطوح فرمی به شکل نیم استوانه یا اشکال دیگر نزدیکی مرز ناحیه اول بریلوین، که مرز این ناحیه را قطع می‌کنند، نشان‌دهنده حامل‌هایی از نوع الکترون هستند [۳۶و۴۰]. شکل ۷ سطوح فرمی رسم شده به روش محاسباتی را برای ترکیب  $_{\text{UBi}_2}$  نشان می‌دهد. همان‌طور که مشاهده می‌شود این بلور دارای دو نوع سطح فرمی می‌باشد. شکل ۷-الف یک سطح تقریباً کروی در اطراف نقطه مرکزی  $\Gamma$  و تعدادی ورقه موجود در گوشه‌های ناحیه اول بریلوین را نشان می‌دهد، که طبق گفته‌های قبلی این سطوح نشان‌دهنده حامل‌هایی از نوع حفره روی سطح فرمی می‌باشند. همچنین شکل ۷-ب تعدادی ورقه استوانه‌ای موجود که مرز ناحیه اول بریلوین را قطع می‌کنند را نشان می‌دهد. این شکل نشان‌دهنده حامل‌هایی از نوع الکترون می‌باشد. در نتیجه در این بلور هر دو نوع حامل بار وجود دارند و از آنجا که این فلز، یک فلز خنثی است می‌توان گفت که باید حجم سطح کروی با حجم سطوح استوانه‌ای برابر باشد. یا اینکه ضریبی که از هر کدام وجود دارد طوری باشد که در نهایت حجمی را که از ملکول در برمی‌گیرند برابر شود، تا تعداد الکترون‌ها و حفره‌ها در ملکول یکسان باشد. چون ناحیه استوانه‌ای ۴/۸٪ و ناحیه کروی ۹/۹٪ از حجم ناحیه اول بریلوین را به خود اختصاص می‌دهند [۳۹]. در نتیجه

20. P Hohenberg and W Kohn, *Phys. Rev. B* **136** (1964) 864.
21. W Kohn, and L J Sham, *Phys. Rev.* **140** (1965) A1133.
22. Z Wu, and R E Cohen, *Phys. Rev. B* **73** (2006) 235116.
23. J P Perdew, K Burke, and M Ernzerhof, *Phys. Rev. Lett.* **77** (1996) 3865.
24. A H Reshak, I V Kityk, and S Auluck, *Journal of Alloys and Compounds* **406** (2008) 99.
25. P Blaha, K Schwarz, and P H Dederichs, *Phys. Rev. B* **37** (1988) 2792.
26. I de P R Moreira, F Illas, and R L Martin, *Phys. Rev. B* **65** (2002) 155102.
27. A D Becke, *J. Chem. Phys.* **98** (1993) 1372.
28. V N Staroverov, G E Scuseria, J Tao, and J P Perdew, *J. Chem. Phys.* **119** (2003) 12129.
29. M Ernzerhof and G E Scuseria , *J. Chem. Phys.* **110** (1999) 5029.
30. C Adamo, and G E Scuseria, *J. Chem. Phys.* **110** (1999) 6158.
31. J P Perdew, M Ernzerhof and K Burke, *J. Chem. Phys.* **105** (1996) 9982.
- آ. فتحی، م. گشتاسبی راد. س. جلالی اسد آبادی، رساله کارشناسی ارشد، دانشگاه سیستان و بلوچستان (۱۳۸۴).
32. B A Boris Dorado, Michel Freyss, and Marjorie Bertolus, *Phys. Rev. B* **79** (2009) 235125.
- ع. فقیهی، س. جلالی اسد آبادی، رساله کارشناسی ارشد، دانشگاه اصفهان (۱۳۸۷).
33. S Tsutesi, M Nakada, S Nasu, T Honma, Y Tokiwa, D Aoki, P Wiśniewski, Y Haga, and Y Ōnuki, *Hyperfine Interactions* **141/142** (2002) 273.
34. S Lebègue, P M Oppeneer, and O Eriksson, *Phys. Rev* **73** (2006) 045119.
35. D Aoki, K Miyake, N Watanabe, Y Inada, R Settai, E Yamamoto, Y Haga, and Y Ōnuki, *Phil. Mag. B* **80** (2000) 1517.
36. P Novak, [http://www.wien2k.at/reg\\_user/textbook/novak\\_lecture](http://www.wien2k.at/reg_user/textbook/novak_lecture)
37. D Aoki, P Wiśniewski, K Miyake, N Watanabe, Y Inada, R Settai, E Yamamoto, Y Haga, and Y Ōnuki, *Phil. Mag. B* **80** (2000) 1517.
38. D Aoki, P Wiśniewski, K Miyake, N Watanabe, Y Inada, R Settai, E Yamamoto, Y Haga, and Y Ōnuki, *Phil. Mag. B* **80** (2000) 1517.
39. Y Tokiwa, T Maehira, S Ikeda, Y Haga, E Yamamoto, A Nakamura, Y Ōnuki, M Higuchi, and A Hasegawa, *J. Phys. Soc. Jpn.* **70** (2001) 2982.
1. P G Pagliuso, N O Moreno, N J Curro, J D Thompson, M F Hundley, J L Sarrao, and Z Fisk, *Phys. Rev. B* **66** (2002) 054433.
2. D Aoki, Y Homma, Y Shiokawa, E Yamamoto, A Nakamura, Y Haga, R Settai, and Y Ōnuki, *J. Phys. Soc. Jpn* **73** (2004) 2608.
3. Y Ōnuki, R Settai, K Sugiyama, T Takeuchi, T C Kobayashi, Y Haga and E Yamamoto, *J. Phys. Soc. Jpn* **73** (2004) 769.
4. D F McMorrow, K A McEwen, U Steigenberger, H M Rønnow and F Yakhou, *Phys. Rev. Lett* **87** (2001) 057201.
5. G R Stewart, *Rev. Mod. Phys* **73** (2001) 797.
6. J L Sarrao, L A Morales, J D Thompson, B L Scott, G R Stewart, F Wastin, J Rebizant, P Boulet, E Colineau, and G H Lander, *Nature (London)* **420** (2002) 297.
7. D D Koelling, B D Dunlap, and G W Crabtree, *Phys. Rev. B* **31** (1985) 4966.
8. J Grunzweig-Genossar, M Kuznietz, and F Friedman, *Phys. Rev* **173** (1998) 562.
9. D Aoki, P Wiśniewski, K Miyake, N Watanabe, Y Inada, R Settai, E Yamamoto, Y Haga and Y Ōnuki, *J. Phys. Soc. Jpn* **68** (1999) 2182.
10. G Amoretti, A Blaise and J Mulak, *Journal of Magnetism and Magnetic Materials* **42** (1984) 65.
11. D Aoki, P Wiśniewski, K Miyake, R Settai, Y Inada, K Sugiyama, E Yamamoto, Y Haga, and Y Ōnuki, *Physica B* **281** (2000) 761.
12. A Zygmunt, and M Duczmal, *Phys. St. Sol* **9** (2006).
13. S J Asadabadi, *Phys. Rev. B* **75** (2007) 205130.
14. S Tsutsui, M Nakada, S Nasu, Y Haga, D Aoki, P Wiśniewski, and Y Ōnuki, *Phys. Rev. B* **69** (2004) 054404.
15. V I Anisimov, J Zaanen, and O K Anderson, *Phys. Rev. B* **44** (1991) 943.
16. P Novák, J Kunes, L Chaput, and W E Pickett, *Phys. St. Sol. B* **243** (2006) 563.
17. A D Becke, *J. Chem. Phys* **98** (1993) 5648.
۱۸. م. دهقانی، س. جلالی اسد آبادی، رساله کارشناسی ارشد، دانشگاه اصفهان (۱۳۸۸).
19. P Blaha, K Schwarz, G K H Madsen, D Kvasnicka, and J Luitz, “WIEN2K: An Augmented Plane Wave plus Local Orbitals Program for Calculating Crystal Properties”, Vienna University of Technology, Austria (2001).